



УДК 532.532

# МОДЕЛИРОВАНИЕ ПОТЕРЬ ДАВЛЕНИЯ НА ТРЕНИЕ В ТРЕХСЛОЙНЫХ ЛАМИНАРНЫХ ПОТОКАХ<sup>1</sup>

*А. М. ИЛЬЯСОВ*

Институт механики УНЦ РАН, Уфа

**Аннотация.** В данной работе предложена модель для определения потерь давления на трение в каждой фазе в трехслойном ламинарном установившемся течении несмешивающихся жидкостей и газа при течении в плоском канале. Эта модель обобщает аналогичную задачу для двухслойного ламинарного потока, предложенную ранее.

Полученные в конечном виде соотношения для потерь давления на трение в жидкостях, могут быть использованы в качестве замыкающих для трехжидкостной модели. Эти уравнения учитывают влияние межфазных границ и являются альтернативой подходу, используемому в зарубежной литературе. В упомянутом подходе пристенные и межфазные напряжения аппроксимируются формулами для однофазного потока и не учитывают взаимного влияния жидкостей на потерю давления на трение в фазах.

Проведено сравнение распределения параметров потока в этих двух моделях.

**Ключевые слова:** потери на трение, трехслойная модель, ламинарное течение, межфазная граница.

---

## 1 Введение

Трехфазные течения газо-нефтеводяных систем имеют большое практическое значение в нефтедобывающей промышленности. Но не смотря на важность исследования трехфазных потоков, имеется не так много экспериментальных и теоретических работ в этом направлении.

---

<sup>1</sup> Работа выполнена при финансовой поддержке Российского фонда фундаментальных исследований (проект № 02-01-97907)

Экспериментальное исследование режимов течения трехфазной газожидкостной смеси было проведено в работе [1]. Было выявлено десять различных форм течения и построена диаграмма режимов течения трехфазного потока в координатах «приведенная скорость газа — приведенная скорость воды» при фиксированной приведенной скорости нефти.

Исследованию объемных газосодержаний при совместном течении воздуха, нефти и воды для всех структурных форм потока посвящена работа [2]. Здесь помимо экспериментального исследования было также проведено теоретическое исследование распределения объемных содержаний фаз с использованием модели потока дрейфа.

Экспериментальное исследование структуры течения, перепада давления и объемного содержания жидкой фазы для неочищенных нефтей в системе газ–нефть–вода было выполнено в работе [3].

Исследование перепада давления в зависимости от приведенной скорости жидкой фазы и ее объемного содержания при совместном течении газа и нефти-водяной эмульсии для некоторых основных режимов течения проводилось в работе [4]. В этой работе также исследовалось изменение перепада давления при переходе через точку инверсии эмульсии нефть-вода.

Теоретическое исследование стационарных уровней жидкостей в зависимости от приведенной скорости жидкой фазы (для различных скоростей газа) в трехфазном расслоенном потоке было выполнено в работе [5]. В этой работе расчеты проводились с использованием трехжидкостной модели для горизонтальной и слегка наклоненной трубы. Причем для течений в каналах с малым углом наклона к горизонту было обнаружено наличие трех различных решений для уровней жидкостей. Показано, что действительным (наиболее устойчивым) решением является решение с наименьшим уровнем жидкой фазы. В этой же работе была предложена модель для определения границ перехода от расслоенного трехфазного течения к режимам течения с перемежающимися фазами на диаграмме приведенная скорость газа — приведенная скорость жидкости.

В представленной работе в конечном виде получены формулы для потерь давления на трение в каждой фазе при течении в плоском канале. Эти соотношения учитывают взаимное влияние фаз, при совместном течении, на потери давления на трение в жидкостях. Полученные соотношения являются функциями средних скоростей фаз, реологических свойств жидкостей и их объемных содержаний и могут использоваться в качестве замыкающих соотношений для трехжидкостной модели.

Обычно, моделируя потери на трение в расслоенном потоке, исполь-

зуют однофазные формулы для напряжений трения и не учитывают наличия «жидких границ» [5]. Такая неточность может сыграть решающую роль при моделировании установившихся течений в нефтедобывающих скважинах. Такие скважины могут иметь длину до нескольких сот метров и иметь множество прямолинейных участков, наклоненных под небольшими различными углами к горизонту. При этом структура потока будет коренным образом меняться при переходе от одного участка к другому. Не вполне корректное определение потерь на трение в фазах, в этом случае, может привести к неверным результатам в определении объемных содержаний фаз, их скоростей и уровней жидкостей при теоретическом прогнозировании трехслойных потоков.

Модель ламинарного трехслойного течения в плоском канале может быть использована для оценки границ перехода от раздельного течения жидкостей к другим режимам течения.

## 2 Трехжидкостная модель расслоенного потока

Трехслойные несжимаемые течения несмешивающихся (нерастворимых) жидкостей с гладкими межфазными границами, т. е. без образования волн на границах раздела фаз, в квазиодномерном приближении описываются известной приближенной системой уравнений [6]. Эти уравнения включают в себя скорости и давления фаз, осредненные по занимаемым сечениям.

В случае установившегося течения в плоском канале уравнения сохранения объемных расходов фаз и уравнения сохранения импульсов при движении фаз имеют вид:

$$\bar{v}_{10} (h - \eta_{10}) = \bar{v}_1 [h - \eta_1(x)], \quad (1)$$

$$\bar{v}_{20} (\eta_{10} - \eta_{20}) = \bar{v}_2 [\eta_1(x) - \eta_2(x)], \quad (2)$$

$$\bar{v}_{30} \eta_{20} = \bar{v}_3 \eta_2(x), \quad (3)$$

$$\rho_1 \bar{v}_1 \frac{d\bar{v}_1}{dx} = -\frac{dp_1}{dx} - \rho_1 g \sin \beta(x) - \frac{\tau_{1w}}{h - \eta_1(x)} + \frac{\tau_{21}}{h - \eta_1(x)}, \quad (4)$$

$$\rho_2 \bar{v}_2 \frac{d\bar{v}_2}{dx} = -\frac{dp_2}{dx} - \rho_2 g \sin \beta(x) - \frac{\tau_{21}}{\eta_1(x) - \eta_2(x)} + \frac{\tau_{32}}{\eta_1(x) - \eta_2(x)}, \quad (5)$$

$$\rho_3 \bar{v}_3 \frac{d\bar{v}_3}{dx} = -\frac{dp_3}{dx} - \rho_3 g \sin \beta(x) - \frac{\tau_{3w}}{\eta_2(x)} - \frac{\tau_{32}}{\eta_2(x)}, \quad (6)$$

где  $\bar{v}_{10}, \bar{v}_1; \bar{v}_{20}, \bar{v}_2$  и  $\bar{v}_{30}, \bar{v}_3$  — скорости газа, нефти и воды в начальном и произвольном сечениях соответственно;  $\eta_{10}, \eta_1$  и  $\eta_{20}, \eta_2$  — границы раздела между газом и нефтью и между нефтью и водой в начальном и произвольном сечениях соответственно;  $\tau_{1w}, \tau_{3w}$  — напряжения трения о стенку первой и третьей жидкостей соответственно;  $\tau_{21}, \tau_{32}$  — напряжения трения на межфазных границах между газом и нефтью и между нефтью и водой соответственно;  $\rho_1, \rho_2$  и  $\rho_3$  — постоянные плотности газа, нефти и воды соответственно;  $\beta(x)$  — переменный угол наклона канала к горизонту;  $h$  — ширина канала. Знаки межфазных напряжений определяются из условий

$$\text{sign } \tau_{21} = \text{sign} (v_2 - v_1) \quad \text{sign } \tau_{32} = \text{sign} (v_3 - v_2)$$

К уравнениям (1)–(6) необходимо добавить уравнения для баланса давлений, возникающие из-за кривизны поверхностей раздела:

$$p_1 - p_2 = \frac{\sigma_{12} \eta_1''}{(1 + \eta_1'^2)^{3/2}}, \quad p_2 - p_3 = \frac{\sigma_{23} \eta_2''}{(1 + \eta_2'^2)^{3/2}}, \quad (7)$$

где  $\sigma_{12}, \sigma_{23}$  — коэффициенты поверхностного натяжения на межфазных границах газ–нефть и нефть–вода соответственно (например [6]).

Систему уравнений (1)–(6) обычно замыкают соотношениями для напряжений трения на стенках канала и межфазных границах, в которых используются гидравлические формулы для однофазных течений [5, 6], которые для плоского канала имеют вид:

$$\tau_{1w} = C_1 \rho_1 \frac{\bar{v}_1^2}{2}, \quad \tau_{3w} = C_3 \rho_3 \frac{\bar{v}_3^2}{2}, \quad (8)$$

$$\tau_{21} = \frac{C_{21} \rho_1 (\bar{v}_2 - \bar{v}_1) |\bar{v}_2 - \bar{v}_1|}{2}, \quad \tau_{32} = \frac{C_{32} \rho_2 (\bar{v}_3 - \bar{v}_2) |\bar{v}_3 - \bar{v}_2|}{2}, \quad (9)$$

где

$$C_1 = \frac{12}{Re_1}, \quad C_2 = \frac{12}{Re_2}, \quad C_3 = \frac{12}{Re_3}, \quad (10)$$

$$\begin{cases} C_{21} = C_1; & \text{если } \bar{v}_1 > \bar{v}_2; \\ C_{21} = C_2; & \text{если } \bar{v}_1 < \bar{v}_2, \end{cases} \quad (11)$$

$$\begin{cases} C_{32} = C_2; & \text{если } \bar{v}_2 > \bar{v}_3; \\ C_{32} = C_3; & \text{если } \bar{v}_2 < \bar{v}_3. \end{cases} \quad (12)$$

Эти соотношения не учитывают наличия жидких межфазных границ и поэтому не вполне корректно определяют падение давления на трение в каждой фазе. Далее будут выведены новые соотношения, учитывающие взаимное влияние жидкостей на потери давления на трение в фазах. Указанные соотношения не содержат эмпирических констант и будут получены в результате обобщения подхода, предложенного в работе [7] для двухслойного ламинарного потока.

### 3 Моделирование потерь давления на трение

Уравнения импульсов (4)–(6) можно представить в следующем виде:

$$-\left(\frac{dp_i}{dx}\right) = -\left(\frac{dp}{dx}\right)_{iV} - \left(\frac{dp}{dx}\right)_{iG} - \left(\frac{dp}{dx}\right)_{iF}, \quad i = \overline{1,3}, \quad (13)$$

т. е. полный перепад давления в каждой фазе, есть сумма перепадов за счет ускорения фаз, сил тяжести и сил трения. Далее будем моделировать последние слагаемые в правой части уравнения (13).

В отсутствие ускорений и сил тяжести уравнения движения примут вид:

$$\left(\frac{dp}{dx}\right)_{1F} = -\frac{\tau_{1w}}{h - \eta_1(x)} + \frac{\tau_{21}}{h - \eta_1(x)}, \quad (14)$$

$$\left(\frac{dp}{dx}\right)_{2F} = -\frac{\tau_{21}}{\eta_1(x) - \eta_2(x)} + \frac{\tau_{32}}{\eta_1(x) - \eta_2(x)}, \quad (15)$$

$$\left(\frac{dp}{dx}\right)_{3F} = -\frac{\tau_{3w}}{\eta_2(x)} - \frac{\tau_{32}}{\eta_2(x)}, \quad (16)$$

Для того, чтобы получить явные выражения для потерь давления на трение в фазах рассмотрим «квазиравновесную» схему. Будем считать, что в каждом сечении канала истинные давления и скорости фаз связаны следующими уравнениями движения:

$$\frac{d^2 v_i}{dy^2} = \left(\frac{dp}{dx}\right)_{iF} \frac{1}{\mu_i} = \frac{f_i}{\mu_i}, \quad f_i = \left(\frac{dp}{dx}\right)_{iF}, \quad i = \overline{1,3}, \quad (17)$$

где учтено, что истинные давления фаз равны осредненным давлениям, поскольку характерное время выравнивания давления в фазах много меньше характерного времени процесса;  $\mu_i$  — вязкости  $i$ -ой среды.

Интегрируем систему уравнений (17) при следующих граничных условиях:

$$v_1(h) = 0, \quad v_1(\eta_1) = v_2(\eta_1), \quad v_2(\eta_2) = v_3(\eta_2), \quad v_3(0) = 0, \quad (18)$$

$$\mu_1 \frac{dv_1}{dy} \Big|_{y=\eta_1} = \mu_2 \frac{dv_2}{dy} \Big|_{y=\eta_1}, \quad \mu_2 \frac{dv_2}{dy} \Big|_{y=\eta_2} = \mu_3 \frac{dv_3}{dy} \Big|_{y=\eta_2}. \quad (19)$$

Первое и четвертое равенства в (18) — условия прилипания жидкостей на стенках канала, а второе и третье — равенства скоростей фаз на межфазных границах. Соотношения (19) выражают равенство касательных напряжений на границах раздела фаз.

Тогда получим профили истинных скоростей:

$$v_1 = \frac{f_1 y^2}{2\mu_1} + Ay + B, \quad v_2 = \frac{f_2 y^2}{2\mu_2} + Cy + D, \quad v_3 = \frac{f_3 y^2}{2\mu_3} + Ey, \quad (20)$$

в которых коэффициенты определяются из матричного уравнения

$$K = Z \cdot F, \quad (21)$$

где введены обозначения:

$$K = \begin{pmatrix} A \\ B \\ C \\ D \\ E \end{pmatrix}, \quad Z = \begin{pmatrix} z_{11} & z_{12} & z_{13} \\ z_{21} & z_{22} & z_{23} \\ z_{31} & z_{32} & z_{33} \\ z_{41} & z_{42} & z_{43} \\ z_{51} & z_{52} & z_{53} \end{pmatrix}, \quad F = \begin{pmatrix} f_1 \\ f_2 \\ f_3 \end{pmatrix}. \quad (22)$$

Элементы матрицы  $Z$  представляются выражениями:

$$z_{11} = \frac{2\mu_1(\mu_2 - \mu_3)\eta_1\eta_2 + \mu_3(2\mu_1 - \mu_2)\eta_1^2 + \mu_2\mu_3 h^2}{2\mu_1(\mu_3(\mu_2(\eta_1 - h) - \mu_1\eta_1) + \mu_1(\mu_3 - \mu_2)\eta_2)}, \quad (23)$$

$$z_{12} = \frac{(2\mu_2 - \mu_3)\eta_2^2 + 2(\mu_3 - \mu_2)\eta_1\eta_2 - \mu_3\eta_1^2}{2(\mu_3(\mu_2(\eta_1 - h) - \mu_1\eta_1) + \mu_1(\mu_3 - \mu_2)\eta_2)}, \quad (24)$$

$$z_{13} = -\frac{\mu_2\eta_2^2}{2(\mu_3(\mu_2(\eta_1 - h) - \mu_1\eta_1) + \mu_1(\mu_3 - \mu_2)\eta_2)}, \quad (25)$$

$$z_{21} = \frac{\mu_1(\mu_2 - \mu_3)\eta_2 h^2 + \mu_3(\mu_1 - \mu_2)\eta_1 h^2}{2\mu_1(\mu_3(\mu_2(\eta_1 - h) - \mu_1\eta_1) + \mu_1(\mu_3 - \mu_2)\eta_2)} + \quad (26)$$

$$+ \frac{2\mu_1(\mu_3 - \mu_2)\eta_1\eta_2 h + \mu_3(\mu_2 - 2\mu_1)\eta_1^2 h}{2\mu_1(\mu_3(\mu_2(\eta_1 - h) - \mu_1\eta_1) + \mu_1(\mu_3 - \mu_2)\eta_2)},$$

$$z_{22} = \frac{(\mu_3 - 2\mu_2)\eta_2^2 h + 2(\mu_2 - \mu_3)\eta_1\eta_2 h + \mu_3\eta_1^2 h}{2(\mu_3(\mu_2(\eta_1 - h) - \mu_1\eta_1) + \mu_1(\mu_3 - \mu_2)\eta_2)}, \quad (27)$$

$$z_{23} = \frac{\mu_2 h \eta_2^2}{2(\mu_3(\mu_2(\eta_1 - h) - \mu_1 \eta_1) + \mu_1(\mu_3 - \mu_2)\eta_2)}, \quad (28)$$

$$z_{31} = \frac{\mu_3(\eta_1 - h)^2}{2(\mu_3(\mu_2(\eta_1 - h) - \mu_1 \eta_1) + \mu_1(\mu_3 - \mu_2)\eta_2)}, \quad (29)$$

$$z_{32} = \frac{\mu_3(\mu_1 - 2\mu_2)\eta_1^2 + \mu_1(2\mu_2 - \mu_3)\eta_2^2 + 2\mu_2\mu_3\eta_1 h}{2\mu_2(\mu_3(\mu_2(\eta_1 - h) - \mu_1 \eta_1) + \mu_1(\mu_3 - \mu_2)\eta_2)}, \quad (30)$$

$$z_{33} = -\frac{\mu_1 \eta_2^2}{2(\mu_3(\mu_2(\eta_1 - h) - \mu_1 \eta_1) + \mu_1(\mu_3 - \mu_2)\eta_2)}, \quad (31)$$

$$z_{41} = \frac{(\mu_2 - \mu_3)\eta_2(\eta_1 - h)^2}{2(\mu_3(\mu_2(\eta_1 - h) - \mu_1 \eta_1) + \mu_1(\mu_3 - \mu_2)\eta_2)}, \quad (32)$$

$$z_{42} = \frac{(\mu_2 - \mu_3)(\mu_1 - 2\mu_2)\eta_1^2 \eta_2 + (\mu_1 - \mu_2)(\mu_3 - 2\mu_2)\eta_1 \eta_2^2}{2\mu_2(\mu_3(\mu_2(\eta_1 - h) - \mu_1 \eta_1) + \mu_1(\mu_3 - \mu_2)\eta_2)} + \quad (33)$$

$$+ \frac{2\mu_2(\mu_2 - \mu_3)\eta_1 \eta_2 h + \mu_2(\mu_3 - 2\mu_2)\eta_2^2 h}{2\mu_2(\mu_3(\mu_2(\eta_1 - h) - \mu_1 \eta_1) + \mu_1(\mu_3 - \mu_2)\eta_2)},$$

$$z_{43} = \frac{(\mu_1 - \mu_2)\eta_1 \eta_2^2 + \mu_2 \eta_2^2 h}{2(\mu_3(\mu_2(\eta_1 - h) - \mu_1 \eta_1) + \mu_1(\mu_3 - \mu_2)\eta_2)}, \quad (34)$$

$$z_{51} = \frac{\mu_2(\eta_1 - h)^2}{2(\mu_3(\mu_2(\eta_1 - h) - \mu_1 \eta_1) + \mu_1(\mu_3 - \mu_2)\eta_2)}, \quad (35)$$

$$z_{52} = \frac{\mu_1 \eta_2^2 + 2(\mu_2 - \mu_1)\eta_1 \eta_2 + (\mu_1 - 2\mu_2)\eta_1^2 + 2\mu_2 \eta_1 h - 2\mu_2 \eta_2 h}{2(\mu_3(\mu_2(\eta_1 - h) - \mu_1 \eta_1) + \mu_1(\mu_3 - \mu_2)\eta_2)}, \quad (36)$$

$$z_{53} = \frac{\mu_1(\mu_2 - 2\mu_3)\eta_2^2 + 2\mu_3(\mu_1 - \mu_2)\eta_1 \eta_2 + 2\mu_2\mu_3\eta_2 h}{2\mu_3(\mu_3(\mu_2(\eta_1 - h) - \mu_1 \eta_1) + \mu_1(\mu_3 - \mu_2)\eta_2)}, \quad (37)$$

Далее найдем средние скорости жидкостей:

$$\bar{v}_1 = \frac{1}{h - \eta_1} \int_{\eta_1}^h v_1 dy, \quad \bar{v}_2 = \frac{1}{\eta_1 - \eta_2} \int_{\eta_2}^{\eta_1} v_2 dy, \quad \bar{v}_3 = \frac{1}{\eta_2} \int_0^{\eta_2} v_3 dy. \quad (38)$$

Отсюда получим:

$$f_i = \frac{\Delta_i}{\Delta}, \quad i = 1, 3, \quad (39)$$

где

$$\Delta = \begin{vmatrix} a_1 & a_2 & a_3 \\ b_1 & b_2 & b_3 \\ c_1 & c_2 & c_3 \end{vmatrix}, \quad \Delta_1 = \begin{vmatrix} \bar{v}_1 & a_2 & a_3 \\ \bar{v}_2 & b_2 & b_3 \\ \bar{v}_3 & c_2 & c_3 \end{vmatrix}, \quad \Delta_2 = \begin{vmatrix} a_1 & \bar{v}_1 & a_3 \\ b_1 & \bar{v}_2 & b_3 \\ c_1 & \bar{v}_3 & c_3 \end{vmatrix},$$

$$\Delta_3 = \begin{vmatrix} a_1 & a_2 & \bar{v}_1 \\ b_1 & b_2 & \bar{v}_2 \\ c_1 & c_2 & \bar{v}_3 \end{vmatrix},$$
(40)

а элементы определителя  $\Delta$  равны:

$$a_1 = \frac{4\mu_1(\mu_2 - \mu_3)\eta_2 h^2 + \mu_3(4\mu_1 - 3\mu_2)\eta_1 h^2}{12\mu_1(\mu_3(\mu_2(\eta_1 - h) - \mu_1\eta_1) + \mu_1(\mu_3 - \mu_2)\eta_2)} +$$

$$+ \frac{8\mu_1(\mu_3 - \mu_2)\eta_1\eta_2 h + \mu_3(3\mu_2 - 8\mu_1)\eta_1^2 h}{12\mu_1(\mu_3(\mu_2(\eta_1 - h) - \mu_1\eta_1) + \mu_1(\mu_3 - \mu_2)\eta_2)} +$$

$$+ \frac{4\mu_1(\mu_2 - \mu_3)\eta_1^2\eta_2 + \mu_3(4\mu_1 - \mu_2)\eta_1^3 + \mu_2\mu_3 h^3}{12\mu_1(\mu_3(\mu_2(\eta_1 - h) - \mu_1\eta_1) + \mu_1(\mu_3 - \mu_2)\eta_2)},$$
(41)

$$a_2 = \frac{(\mu_3 - 2\mu_2)\eta_2^2 h + 2(\mu_2 - \mu_3)\eta_1\eta_2 h + \mu_3\eta_1^2 h}{4(\mu_3(\mu_2(\eta_1 - h) - \mu_1\eta_1) + \mu_1(\mu_3 - \mu_2)\eta_2)} +$$

$$+ \frac{(2\mu_2 - \mu_3)\eta_1\eta_2^2 + 2(\mu_3 - \mu_2)\eta_1^2\eta_2 - \mu_3\eta_1^3}{4(\mu_3(\mu_2(\eta_1 - h) - \mu_1\eta_1) + \mu_1(\mu_3 - \mu_2)\eta_2)},$$
(42)

$$a_3 = \frac{\mu_2(h - \eta_1)\eta_2^2}{4(\mu_3(\mu_2(\eta_1 - h) - \mu_1\eta_1) + \mu_1(\mu_3 - \mu_2)\eta_2)},$$
(43)

$$b_1 = \frac{\mu_3\eta_1(h - \eta_1)^2 + (2\mu_2 - \mu_3)\eta_1^2\eta_2}{4(\mu_3(\mu_2(\eta_1 - h) - \mu_1\eta_1) + \mu_1(\mu_3 - \mu_2)\eta_2)} +$$

$$+ \frac{2(\mu_3 - 2\mu_2)\eta_1\eta_2 h + (2\mu_2 - \mu_3)\eta_2 h^2}{4(\mu_3(\mu_2(\eta_1 - h) - \mu_1\eta_1) + \mu_1(\mu_3 - \mu_2)\eta_2)},$$
(44)

$$b_2 = \frac{\mu_1(4\mu_2 - \mu_3)\eta_2^3 + (12\mu_2^2 + 3\mu_1\mu_3 - 4\mu_2\mu_3 - 8\mu_1\mu_2)\eta_1\eta_2^2}{12\mu_2(\mu_3(\mu_2(\eta_1 - h) - \mu_1\eta_1) + \mu_1(\mu_3 - \mu_2)\eta_2)} +$$

$$+ \frac{4\mu_2(\mu_3 - 3\mu_2)\eta_2^2 h + (8\mu_2\mu_3 + 4\mu_1\mu_2 - 3\mu_1\mu_3 - 12\mu_2^2)\eta_1^2\eta_2}{12\mu_2(\mu_3(\mu_2(\eta_1 - h) - \mu_1\eta_1) + \mu_1(\mu_3 - \mu_2)\eta_2)} + \quad (45)$$

$$+ \frac{4\mu_2(3\mu_2 - 2\mu_3)\eta_1\eta_2 h + \mu_3(\mu_1 - 4\mu_2)\eta_1^3 + 4\mu_2\mu_3\eta_1^2 h}{12\mu_2(\mu_3(\mu_2(\eta_1 - h) - \mu_1\eta_1) + \mu_1(\mu_3 - \mu_2)\eta_2)},$$

$$b_3 = \frac{(\mu_1 - 2\mu_2)\eta_1\eta_2^2 + 2\mu_2\eta_2^2 h - \mu_1\eta_2^3}{4(\mu_3(\mu_2(\eta_1 - h) - \mu_1\eta_1) + \mu_1(\mu_3 - \mu_2)\eta_2)}, \quad (46)$$

$$c_1 = \frac{\mu_2(h - \eta_1)^2\eta_2}{4(\mu_3(\mu_2(\eta_1 - h) - \mu_1\eta_1) + \mu_1(\mu_3 - \mu_2)\eta_2)}, \quad (47)$$

$$c_2 = \frac{\mu_1\eta_2^3 + 2(\mu_2 - \mu_1)\eta_1\eta_2^2 + (\mu_1 - 2\mu_2)\eta_1^2\eta_2}{4(\mu_3(\mu_2(\eta_1 - h) - \mu_1\eta_1) + \mu_1(\mu_3 - \mu_2)\eta_2)} +$$

$$+ \frac{2\mu_2\eta_1\eta_2 h - 2\mu_2\eta_2^2 h}{4(\mu_3(\mu_2(\eta_1 - h) - \mu_1\eta_1) + \mu_1(\mu_3 - \mu_2)\eta_2)}, \quad (48)$$

$$c_3 = \frac{\mu_1(\mu_2 - 4\mu_3)\eta_2^3 + 4\mu_3(\mu_1 - \mu_2)\eta_1\eta_2^2 + 4\mu_2\mu_3\eta_2^2 h}{12\mu_3(\mu_3(\mu_2(\eta_1 - h) - \mu_1\eta_1) + \mu_1(\mu_3 - \mu_2)\eta_2)}. \quad (49)$$

Теперь, используя (14)–(16), получим суммарные напряжения трения, действующие на каждую жидкость:

$$-\tau_{1w} + \tau_{21} = \left(\frac{dp}{dx}\right)_{1F} (h - \eta_1) = f_1 (h - \eta_1),$$

$$-\tau_{21} + \tau_{32} = \left(\frac{dp}{dx}\right)_{2F} (\eta_1 - \eta_2) = f_2 (\eta_1 - \eta_2), \quad (50)$$

$$-\tau_{3w} - \tau_{32} = \left(\frac{dp}{dx}\right)_{3F} \eta_2 = f_3 \eta_2.$$

Соотношения (50), вместе с полученными выражениями (39)–(49) и исходными уравнениями модели плоского трехслойного течения (1)–(6), представляют собой замкнутую математическую модель ламинарного потока.

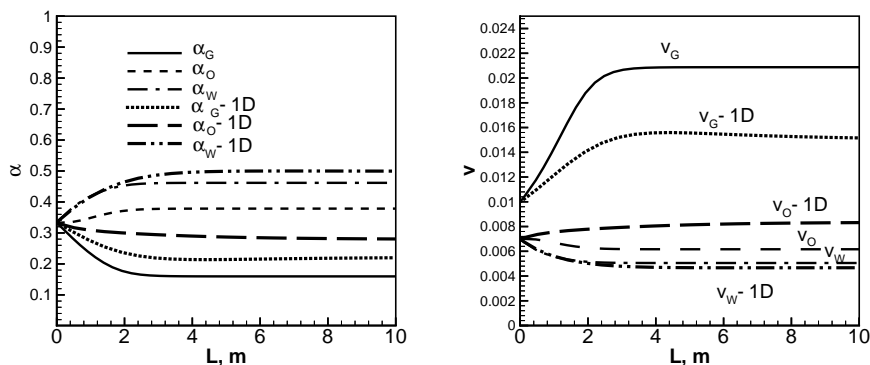


Рис. 1: Сравнение изменений объемных содержаний  $\alpha$  и скоростей фаз по длине горизонтального канала в системе газ-нефть-вода по двум од-номерным моделям

## 4 Некоторые численные результаты

Рассматривались численные решения модельных задач о трехслойном течении системы газ-нефть-вода в горизонтальном канале и нефтедобывающей скважине без учета эффектов поверхностного натяжения на межфазных границах для выше описанной модели.

Индексы 1, 2, и 3 внизу относятся к газу, нефти и воде соответственно.

На входе в канал во всех расчетах объемные содержания фаз принимались равными. Ширина канала бралась равной  $h = 0.15$  м. Вязкость газа принималась равной  $\mu_1 = 0.00001$  Па·с, а плотность бралась равной  $\rho_1 = 1.23$  кг/м<sup>3</sup>. Вязкости нефти и воды принимались равными  $\mu_2 = 0.01$  Па·с и  $\mu_3 = 0.001$  Па·с, а плотности:  $\rho_2 = 800$  кг/м<sup>3</sup>,  $\rho_3 = 1000$  кг/м<sup>3</sup> соответственно.

На Рис. 1 показано сравнение распределения объемных содержаний фаз и их скоростей по длине горизонтального канала ( $\beta = 0^0$ ). Длина канала принималась равной  $L = 10$  м. Начальные скорости жидкостей равнялись  $v_2 = v_3 = 0.007$  м/с, а начальная скорость газа  $v_1 = 0.01$  м/с.

В первом случае падение давления на трение в фазах рассчитывалось по гидравлическим формулам для однофазного потока, а во втором использовались полученные соотношения для потерь на трение в жидкостях (Эти графики отмечены буквами 1D). Видно, что стационарные

Рис. 2: Схема нефтедобывающей скважины

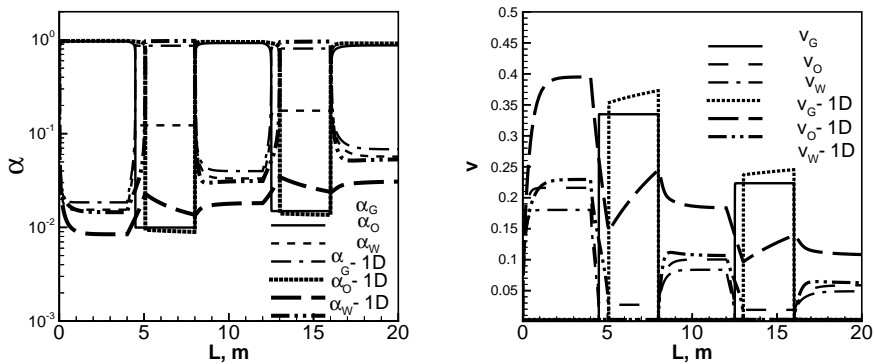


Рис. 3: Сравнение изменений объемных содержаний  $\alpha$  и скоростей фаз по длине нефтедобывающей в системе газ-нефть-вода по двум одномерным моделям

объемные содержания нефти (на выходе) отличаются друг от друга примерно на 25%.

На Рис. 3 показано сравнение распределений объемных содержаний фаз и их скоростей по длине нефтедобывающей скважины, схема которой показана на Рис. 2. Скважина представлена каналом состоящим из прямолинейных участков, наклоненных под различными (убывающими по модулю) углами к горизонту ( $\beta = -0.5^0$ ,  $\beta = 0.1^0$ ,  $\beta = -0.05^0$ ,  $\beta = 0.03^0$ ,  $\beta = -0.01^0$ ). При расчете количество прямолинейных участков канала бралось равным пяти, а их длины принимались равными  $L = 4$  м. Начальные скорости жидкостей равнялись  $v_1 = v_2 = v_3 = 0.01$  м/с.

Графики на Рис. 3 показывают, что при переходе от одного прямолинейного участка к другому происходит сильная перестройка структуры течения. При этом объемное содержание нефти отличается почти на по-

рядок на участках с положительными углами наклона к горизонту в зависимости от того какую модель мы выбираем для потерь на трение.

Представленную квазиодномерную модель с полученными выражениями для потерь давления на трение в жидкостях можно использовать для качественной оценки структуры течения и, в частности, для оценки изменения состава фаз в добывающих скважинах. Показано, что в случае каналов со сложной геометрией некорректное определение трения в фазах может привести к сильно завышенным (заниженным) значениям выхода продуктов в трехфазном потоке.

## Список литературы

- [1] Acikgoz M., Franca F., Lahey Jr. R. T. An experimental study of three-phase flow regimes // *Int. J. Multiphase Flow*. 1992. V. 18, № 3. P. 327–336.
- [2] R. T. Lahey, Jr. M. Acikgoz, F. Franca. Global volumetric phase fractions in horizontal three-phase flows // *AIChE. J.* 1992. V. 38, № 7. P. 1049–1058.
- [3] Utvik O. H., Valle A., Rinde T. Pressure drop, flow pattern and slip for a multipase crude oil-water-hydrocarbon gas sistem // *Third Int. Conf. on Multiphase Flow (ICMF'1998)*, Lyon (France), 1998 (CD).
- [4] Cai J., Chen T., Luo Y. The experimental investigations on the pressure drop of the three-phase flow of gas, water-oil emulsions in horizontal pipes // *Third Int. Conf. on Multiphase Flow (ICMF'1998)*, Lyon (France), 1998 (CD).
- [5] Y. Taitel, D. Barnea, J. P. Brill. Stratified three phase flow in pipes // *Int. J. Multiphase Flow*. 1995. V. 21, № 1. P. 53–60.
- [6] Valle A. Multiphase pipeline flows in hydrocarbon recovery // *Multiphase science and technology*. V. 10, № 1. P. 1–139.
- [7] Ильясов А. М., Киреев В. Н., Урманчиев С. Ф. Определение потерь давления на трение в ламинарных расслоенных потоках // *Труды Математического центра им. Н. И. Лобачевского. Модели механики сплошной среды. Материалы XVI сессии Междунар. школы по моделям сплошной среды* / Каз. матем. об-во. Казань 2002. Т. 16. С. 202–209.